

(دریافت مقاله: ۱۳۸۸/۱۲/۱۰؛ پذیرش: ۱۳۹۰/۳/۲۴)

IPR

IPR

خصوصیت آخری نانو روبان‌های گرافینی (GNRs)<sup>۴</sup> را به عنوان بهترین کاندیدا برای ساخت ادوات الکترونیکی در آینده مطرح می‌سازد [۴]. اما مشکلی که این ادوات با آن مواجه هستند، نبود گاف انرژی در آنها می‌باشد که کنترل خواص الکترونیکی و تراپرد را در ادوات بر پایه گرافین مشکل می‌سازد. این مشکل را می‌توان به وسیله ساخت نانو روبان‌های گرافینی که به اندازه کافی باریک هستند حل کرد و در نتیجه گاف انرژی را به آنها افروزد. اما تفاوت عمداتی میان نتایج آزمایشگاهی و کارهای نظری که بر روی مدل‌های آیده‌آل GNRs انجام می‌شود وجود دارد. محاسبات تنگابست<sup>۵</sup> (یا جواب‌های معادله دیراک) نشان می‌دهند که عرض گاف به هندسه لبه‌ها و عرض نانو روبان‌ها بسیار حساس است [۶، ۵] در حالی که نتایج تجربی [۷، ۸] هیچ تفاوتی میان نانو روبان‌های

کشف اخیر تک لایه‌های گرافینی [۱] توجه زیادی را به خود جلب کرده است. قبل از تصور می‌شد که گرافین نمی‌تواند به حالت آزاد در طبیعت یافت شود. چون نزدیک به هفتاد سال پیش دو فیزیکدان معروف به نام‌های لانداؤ<sup>۱</sup> و پایرلز<sup>۲</sup> استدلال کردند که شبکه اکیداً دو بعدی به لحاظ ترمودینامیکی ناپایدار است و نمی‌تواند وجود داشته باشد [۲]. گرافین خواص فیزیکی بسیار جالبی از خود نشان می‌دهد: حامل‌های بار در آن شبیه ذرات نسبیتی بدون جرم رفتار می‌کنند و می‌توان آنها را به وسیله معادله دیراک توصیف کرد [۱]. به علاوه گرافین هم در دمای اتاق و هم با مقادیر زیاد ناخالصی موبیلیتی<sup>۳</sup> بالایی از خود نشان می‌دهد [۳].

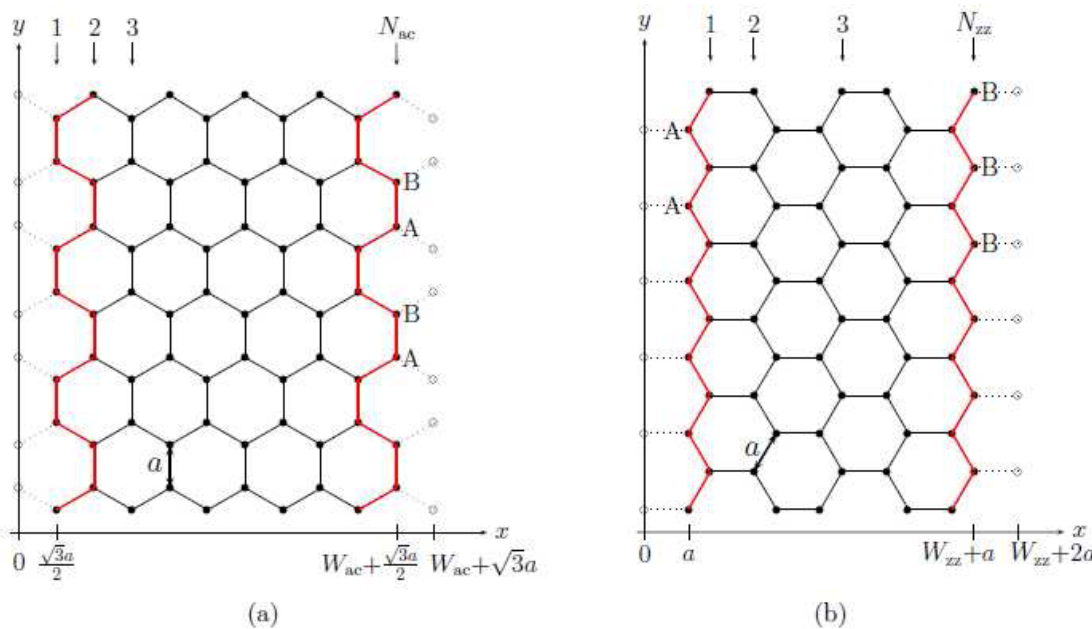
۱. Landau

۲. Peierls

۳. mobility

۴. Graphene nano ribbons

۵. Tight- binding



شکل ۱. ساختار شبکه نانو روبان‌های گرافینی. خطوط نقطه چین پیوندهایی را نشان می‌دهند که باید بریده شوند و دایره‌های توخالی، اتم‌هایی که باید برداشته شوند تا یک نانو روبان بوجود آید. (a) یک روبان دسته صندلی، (b) یک روبان زیگزاگ.

می‌کند که بیشتر روبان‌ها فلز هستند یا گاف بسیار کوچکی دارند، در حالی که هیچ روبان فلزی به طور تجربی مشاهده نشده است. در قسمت (۳) برای نزدیکتر کردن این مدل به واقعیت، بی نظمی اندرسون و بی نظمی تهی جایی (ترواوش کوانتوسی جایگاهی)<sup>۳</sup> را هم روی مرزها و هم به سطح نانو روبان‌های گرافینی وارد خواهیم کرد. نشان می‌دهیم چگالی حالات روبان‌ها در حضور این بی‌نظمی‌ها چه تغییری خواهد کرد. هم چنین نتایج و توضیحات نهایی را در قسمت آخر بیان می‌کنیم.

هنودسه نانوروبان‌های گرافینی با دو مرز متفاوت در شکل ۱ نشان داده شده است. یک نانوروبان گرافینی شامل دو زیر شبکه ناهم ارز است، که با A و B در شکل ۱ مشخص شده است. یک روبان دسته صندلی برشی از گرافین است به طوری که مرز آن شامل تکرار دسته صندلی‌ها می‌باشد، مطابق شکل (a1). هر مرز به اتم‌های زیر شبکه A و B ختم می‌شود. عرض یک

زیگزاگ<sup>۱</sup> و دسته صندلی<sup>۲</sup> نشان نمی‌دهند. عواملی که ممکن است منجر به این رفتارها شوند شامل پراکندگی از روی ناصافی‌های<sup>۳</sup> مرزی [۱۰، ۹]، نقص‌های شبکه اتمی [۱۱]، پراکندگی ناخالصی<sup>۴</sup> [۱۲]، بر هم کنش الکترون-الکترون و یا تغییر ساختار الکترونیکی به علت اثرهای مرزی می‌باشد [۱۳]. استفاده تقریب تنگابست همراه با بی‌نظمی، اثرهای مهمی را در نانو روبان‌ها نشان می‌دهد. در واقع اضافه کردن بی‌نظمی به عنوان تصحیحی روی مدل‌های ایده‌آل می‌باشد. این مقاله از قسمت‌های زیر تشکیل شده است. در قسمت (۲) ابتدا هندسه روبان با دو مرز متفاوت زیگزاگ و دسته صندلی را شرح خواهیم داد، سپس در ادامه یک روش عددی را بر پایه محاسبات تنگابست توضیح می‌دهیم و نتایج چگالی حالات (DOS)<sup>۵</sup> را برای نانو روبان‌های زیگزاگ و دسته صندلی نشان می‌دهیم. همان طور که خواهیم دید، این مدل پیش‌بینی

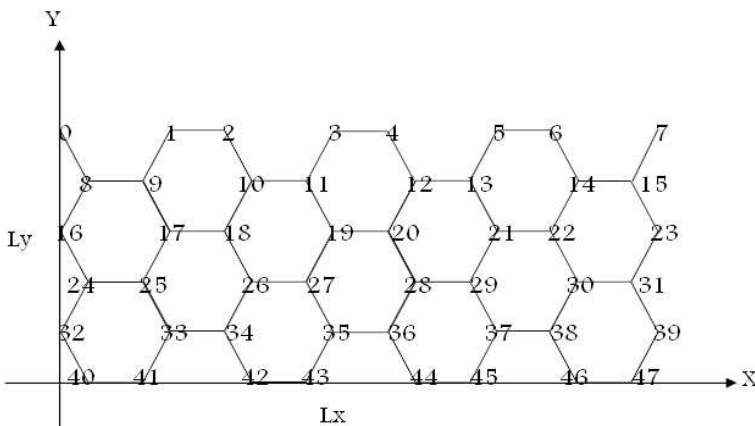
۱. Zigzag

۲. Armchair

۳. Rough

۴. Impurity scattering

۵. Density of state



شماره سایت	همسایه اول	همسایه دوم	همسایه سوم
زوج	$i-1$	$i-L_x$	$i+L_x$
فرد	$i+1$	$i+L_x$	$i-L_x$

شکل ۲. در شکل شماره گذاری سایت‌های یک شبکه لانه زنبوری با  $L_x = 8$  و  $L_y = 6$  نشان داده شده است. در جدول پایین، نمایش همسایه یک جایگاه (در شبکه بالا) با شماره ۳ مشخص شده است.

که در آن  $a_{i\sigma}^t b_{j\sigma}$  عملگر خلق (فنا) یک الکترون با اسپین  $\sigma$  در سایت  $a$  می‌باشد،  $\sum_{ij}$  جمع روی همه نزدیکترین همسایگان سایت‌ها را نشان می‌دهد و  $t = 2.7 \text{ eV}$  پارامتر پرش میان اوربیتال جایگاه همسایه است.

اولین گام برای شروع محاسبات عددی، ساختن ماتریس هامیلتونی نظیر معادله (۱) است.

مطابق شکل ۲ یک شبکه لانه زنبوری با ابعاد  $L_x \times L_y$  با شرط مرزی دوره‌ای (pbc) در نظر می‌گیریم. بنابراین ماتریس هامیلتونی نظیر این شبکه یک ماتریس مربعی  $N$  بعدی است که مقدار  $N$  برابر با  $L_x \times L_y$  است. برای نوشتن عناصر ماتریس پرش، باید نزدیکترین همسایه‌ها را برابر جایگاه داده شده مشخص کنیم. برای این کار، هر جایگاه شبکه را مطابق شکل ۲ فقط با یک عدد شماره گذاری می‌کنیم. به این ترتیب برای جایگاه آنم اولین همسایه‌ها به صورتی که در جدول شکل ۲ داده شده است مشخص می‌شوند. پس از تشکیل ماتریس هامیلتونی (۱)، این ماتریس را قطری کرده و با استفاده از ویژه مقادیر انرژی، چگالی حالات سیستم را تشکیل می‌دهیم.

روبان دسته صندلی را می‌توان بر حسب تعداد خطوط دیمر<sup>۱</sup> تعیین کرد،  $A = 1/42 \text{ \AA}$  با  $W_{ac} = (N_{ac} - 1) \frac{\sqrt{3}}{2} a$ . هندسه مرز دیگر، زیگزاگ نامیده می‌شود شکل ۱b. اتم‌های هر مرز از زیر شبکه یکسان هستند. مثلاً اتم‌های A در مرز چپ و اتم‌های B در مرز راست. عرض یک روبان زیگزاگ به وسیله تعداد زنجیرهای زیگزاگ  $N_{zz}$ ، تعیین می‌شود  $W_{zz} = (N_{zz} - 1) \frac{\sqrt{3}}{2} a$ ،  $A = 1/42 \text{ \AA}$ . فرض می‌کنیم، پیوندهای آویزان در مرز به اتم‌های هیدروژن ختم می‌شوند، بنابر این سهمی در خواص ترابرد ندارند.

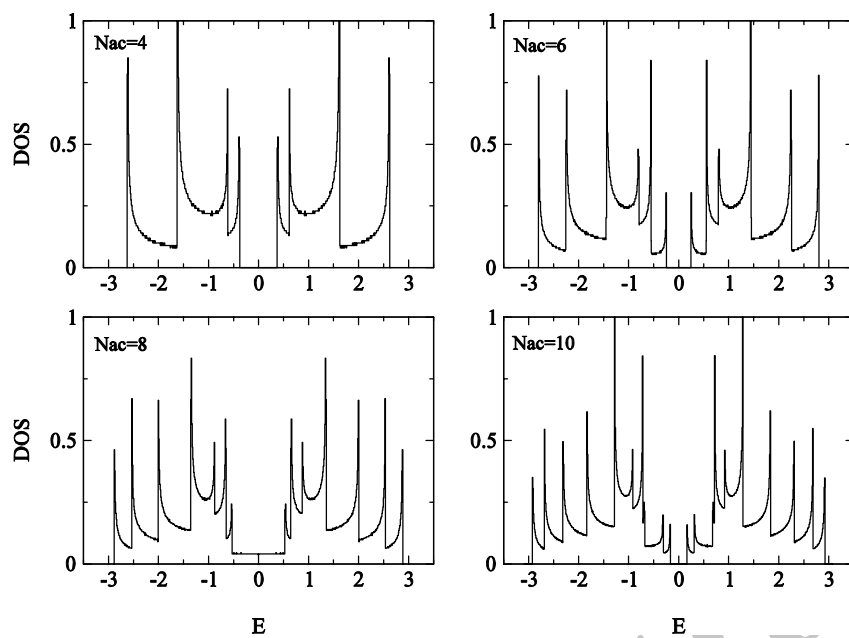
مدل تنگابست تک اوربیتالی برای محاسبه حالت‌های الکترونیکی مولکول‌های فولرین<sup>۲</sup>، نانولوله‌های کربنی و مواد واپسیه کربن موفق بوده است [۱۴]، به همین دلیل در این تحقیق از این مدل برای شبکه الکترونی  $\pi$  نانوروبان‌های گرافینی استفاده شده است. هامیلتونی استاندارد تنگابست برای یک شبکه لانه زنبوری به شکل زیر داده می‌شود:

$$H = -t \sum_{ij\sigma} (a_{i\sigma}^t b_{j\sigma} + h.c.) , \quad (1)$$

۱. Dimer

۲. Fullerene

۳. Periodic boundary condition

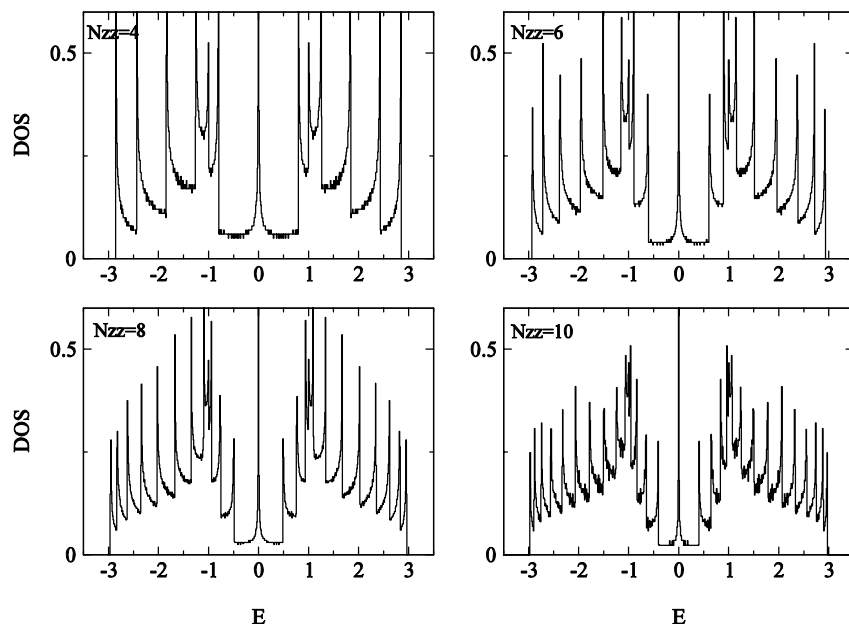


شکل ۳. چگالی حالات (DOS) نانو روبان‌های گرافینی دسته صندلی با عرض‌های مختلف  $N_{ac}=4$ ،  $N_{ac}=6$ ،  $N_{ac}=8$  و  $N_{ac}=10$ .

چگالی حالت در اطراف انرژی فرمی ( $E_F = 0$  eV)، به این معناست که سرعت گروهی الکترون‌های متحرک نزدیک به صفر است [۶]. این باند تقریباً صاف به حالت جایگزینیه در مرزهای روبان زیگزاگ مربوط است، که حالت‌های مرزی نامیده می‌شود. این حالت‌ها بسیار جالب توجه هستند چون نمی‌توان آنها را از ساختار نواری گرافین دو بعدی پیش بینی کرد، و در روبان‌های دسته صندلی نیز ظاهر نمی‌شوند. در مقابل نانوروبان‌های دسته صندلی با  $N_{ac} = 3n+1$  یا  $N_{ac} = 3n+2$  در اطراف  $E = 0$  دارای گاف می‌باشند. سایز محدود این گاف با افزایش  $N_{ac} \rightarrow \infty$ ، به سمت صفر میل می‌کند. چون با افزایش تعداد سایت‌های شبکه، اثرهای سایز محدود کاهش می‌یابد و گاف بسته می‌شود، در واقع نمودارهای چگالی حالات شبیه DOS گرافین می‌شوند. برای مقادیر  $N_{ac} = 3n+2$  با تقریب تنگابست و در نظر گرفتن پرش به اولین همسایگان نزدیک، نانوروبان‌های دسته صندلی با خواص فلزی به دست می‌آید، اما اگر پرش به دومین و سومین همسایگان نزدیک را در این تقریب به حساب بیاوریم، این خاصیت فلزی ناپدید می‌شود [۱۳، ۱۵]. برای مقادیر دیگر  $N_{ac}$ ، پرشی با برد بلندتر، سایز گاف را اندکی تغییر می‌دهد اما خواص اصلی را عوض

خواص الکتریکی GNRs به شدت به هندسه آنها وابسته است. بسته به جهت برش لایه گرافین، دو نوع مرز متفاوت با نام‌های زیگزاگ و دسته صندلی به وجود می‌آید. همه روبان‌ها با مرزهای زیگزاگ فلز هستند. در حالی که  $\frac{2}{3}$  از روبان‌های دسته صندلی نیمه رسانا هستند، مطابق شکل ۳ و ۴. در مقایسه با ساختار نواری یک صفحه گرافینی نامحدود، چگالی حالات نانو روبان‌های گرافینی محدود، شامل تعداد زیادی تکینگی‌های ون-هوف<sup>۱</sup> (VHSSs) می‌باشد. چگالی حالت یک سیستم یک بعدی ایده آل، متناسب با  $^{1/2}$  می‌باشد و شامل یک نقطه تکینگی است. از آنجایی که GNR یک سیستم شبیه یک بعدی است، در امتداد عرض نوار می‌توان مدهای نوسانی با انرژی‌های متفاوت در نظر گرفت، که هریک مربوط به یک کanal یک بعدی عبوری می‌باشد. اگر به تابع چگالی حالات GNR دقت کنیم، هر یک از این کانال‌ها با افزایش انرژی تحریک شده و سهمی در چگالی حالات ایجاد می‌کنند، که به شکل  $^{1/2}$  می‌باشد. در واقع هریک از نقاط تکینه مربوط به یک کانال جدید عبوری می‌باشد. برای نانوروبان‌های گرافینی زیگزاگ، رفتار ویژه

۱. Van hove singularities

شکل ۴. چگالی حالات (DOS) نانوروبان‌های گرافینی زیگزاگ با عرض‌های مختلف  $N_{zz} = 4$ ،  $N_{zz} = 6$ ،  $N_{zz} = 8$  و  $N_{zz} = 10$ .

که در آن  $\epsilon_i$  انرژی روی جایگاهی می‌باشد و  $t$  پارامتر پرش است. جمع  $\sum_{ij}$ ، پرش را به نزدیک ترین همسایگان هر جایگاه محدود می‌کند. در نبود بی نظمی،  $\epsilon_i$  مقدار صفر دارد و  $t = 2/7\text{eV}$  می‌باشد. در حضور بی نظمی، هم انرژی روی جایگاهی و هم پارامتر پرش می‌تواند تغییر کند. در اینجا تنها تغییر در انرژی روی جایگاهی را در نظر می‌گیریم.

یکی از ساده‌ترین بی نظمی‌ها در نانوروبان‌های گرافینی، بی نظمی تهی جایی بر روی مرز است که با حذف یک یا چندین اتم روی مرز ایجاد می‌شود. یک جای خالی در مرز (روی جایگاه  $i$ ) با قرار دادن مقدار بسیار بزرگی برای  $\epsilon_i$ ، در معادله (۲) شبیه سازی می‌شود. بنابراین الکترون‌ها با احتمال بسیار کمی به این جایگاه پرش می‌کنند. بی نظمی لبه با دو پارامتر مشخص می‌شود: عمق  $d$  و احتمال  $p$  عمق  $d$  تعداد لایه‌های درونی<sup>۲</sup> می‌باشد که اتم‌ها در آن حذف شده‌اند. برای یک روبان دسته‌صنیلی عمق  $d$  برابر ۱ است اگر تنها اتم‌های خطوط دیمر او  $N_{ac}$  حذف شوند (شکل ۱). عمق  $d$  برای یک روبان

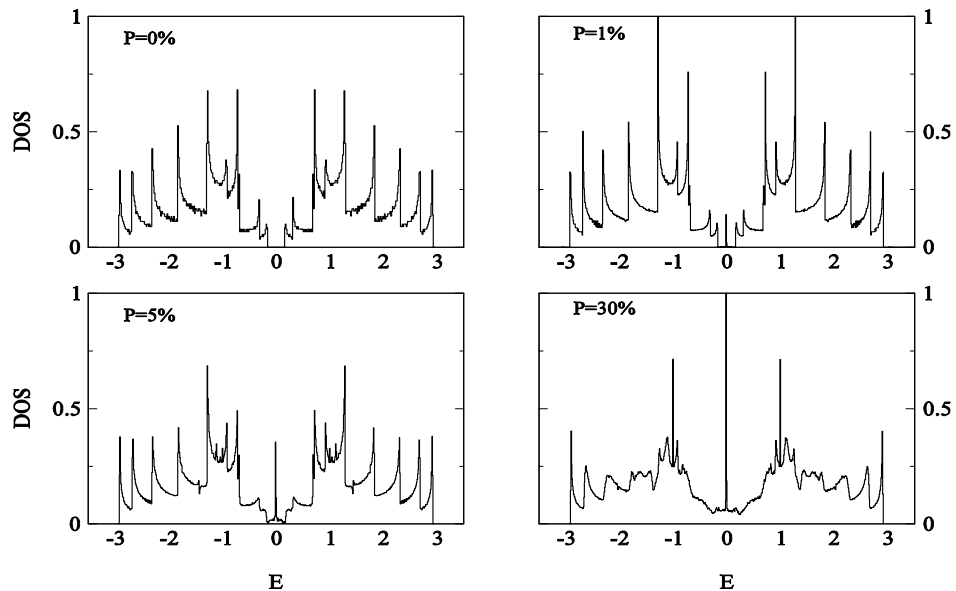
نمی‌کند. توجه کنید که عرض گاف به هندسه مرزها و عرض روبان‌ها (سایز گاف با افزایش عرض روبان کاهش می‌یابد) بسیار حساس است، و این بر خلاف نتایج تجربی می‌باشد.

وجود مرزهای باز در دو طرف نانوروبان آن را نسبت به بی نظمی‌ها آسیب پذیر می‌کند. در واقع تقریباً همه مشاهدات مرزهای گرافین شامل نقص‌های موضعی<sup>۱</sup> یا بی نظمی‌های گسترده است، در حالی که نقص‌های کمتری در سطح ورقه‌های گرافینی پیدا شده است. این نقص‌های مرزی می‌توانند اثر مهمی روی خواص الکترونیکی نانوروبان‌ها داشته باشند. در این قسمت چگالی حالات نانوروبان‌های گرافینی را در حضور بی نظمی اندرسون و بی نظمی تهی جایی با استفاده از مدل تنگابست بررسی خواهیم کرد. هامیلتونی تنگابست این سیستم به شکل زیر است:

$$H = -t \sum_{\langle ij \rangle \sigma} (a_{i\sigma}^t b_{j\sigma} + h.c.) + \sum_{i\sigma} \epsilon_i (a_{i\sigma}^t a_{i\sigma} + b_{i\sigma}^t b_{i\sigma}) \quad (2)$$

۲. Outermost layers

۱. Local defects

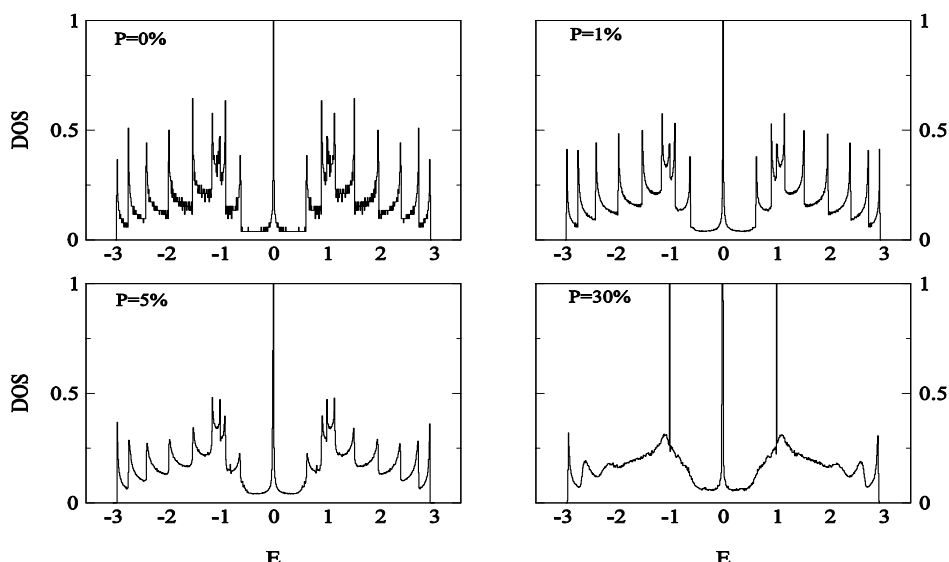


شکل ۵. اثر بی نظمی تراویش کوانتمی جایگاهی (روی مرز) بر روی چگالی حالت (DOS) نانوروبان‌های دسته صندلی ( $N_{ac} = 10$ ) با عرض راستای طولی از شرایط مرزی دورهای (pbc) استفاده شده است. در اینجا  $L_x = 122 nm$  و طول  $L_y = 100 nm$  سایت می‌باشد. میانگین بی نظمی برای  $5^\circ$  توزیع مختلف به دست آمده است. در اینجا  $d = 100$  و عمق  $d$  را برابر ۱ فرض کردہایم.

اثری روی DOS این نانوروبان‌ها در اطراف انرژی فرمی ندارد. اما با افزایش بی نظمی تا  $P = \frac{3^\circ}{100}$ ، دو قله در DOS این نانوروبان‌ها در نقاط ۱ و -۱ ظاهر می‌شود، که انرژی آنها متفاوت از تکینگی‌های ون-هوف یک GNR بدون بی نظمی می‌باشد. در واقع آنها مربوط به یک حالت جایگزینه هستند که توسط بی نظمی تهی جایی ایجاد می‌شوند. اما برای GNRs دسته صندلی، با کوچکترین بی نظمی تهی جایی ( $P = \frac{1^\circ}{100}$ ) قله‌ای در انرژی فرمی ظاهر می‌شود. همچنین با افزایش بی نظمی تا  $P = \frac{3^\circ}{100}$ ، پیک وسط رشد می‌کند و دو قله دیگر (مانند GNRs زیگزاگ) در نقاط ۱ و -۱ آشکار می‌شود. در این جا نیز این پیک‌ها مربوط به حالت‌های جایگزینه هستند که توسط بی نظمی تهی جایی ایجاد می‌شوند. همان‌طور که از نمودارهای DOS پیداست، GNRs دسته صندلی نسبت به GNRs زیگزاگ بیشتر تحت تأثیر بی نظمی تهی جایی قرار می‌گیرند. همچنین در بی نظمی  $P = \frac{3^\circ}{100}$ ، دو نمودار DOS نانوروبان‌های زیگزاگ و دسته صندلی به طور کلی شبیه هم هستند. به این معنا که در این بی نظمی خاص تفاوتی میان

زیگزاگ با تعداد زنجیرهای زیگزاگ مشخص می‌شود که تحت تأثیر بی نظمی قرار گرفته‌اند. به عنوان مثال  $d = 1$ ، اگر زنجیر زیگزاگ ۱ و  $N_{zz} = 6$  شامل جای خالی باشد. احتمال  $p$  اشاره به درصدی از جاهای خالی دارد که در یک خط دیمر یا یک زنجیر زیگزاگ وجود دارد.

عملیاتی را که برای ساختن هامیلتونی در قسمت (۲) به کار گرفتیم، در اینجا نیز برای ساختن هامیلتونی معادله (۲) مورد استفاده قرار می‌دهیم. اثر بی نظمی تهی جایی بر روی چگالی حالت (DOS) نانوروبان‌های گرافینی زیگزاگ ( $N_{zz} = 6$ ) و دسته صندلی ( $N_{ac} = 10$ ), با مقدارهای متفاوت بی نظمی  $P = \frac{1^\circ}{100}, \frac{5^\circ}{100}, \frac{3^\circ}{100}$ , رسم شده است (شکل‌های ۵ و ۶). به طور کلی با افزایش بی نظمی نقاط تکینه مربوط به کانال‌ها هموار می‌شوند. هم چنین با افزایش بی نظمی پهنهای باند DOS تغییر نمی‌کند. ثابت ماندن پهنهای باند DOS در اثر بی نظمی تهی جایی یک رفتار طبیعی است، که در سیستم‌های مشابه نیز مشاهده می‌شود. برای GNRs زیگزاگ، این بی نظمی‌ها تقریباً



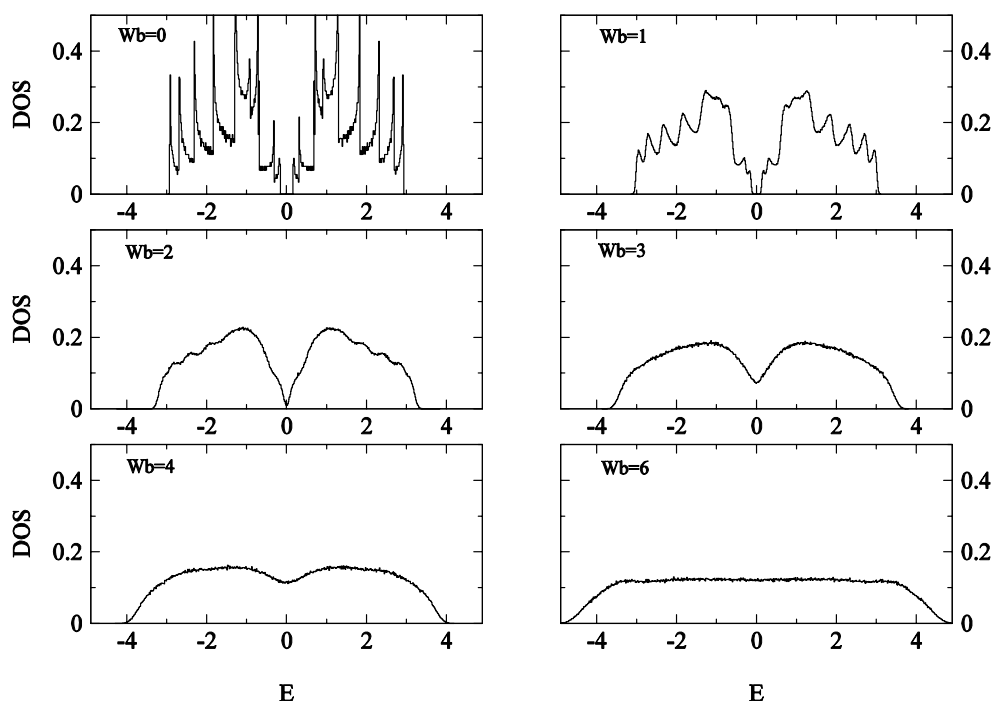
شکل ۶. اثر بی نظمی تراویش کوانتموی جایگاهی (روی مرز) بر روی چگالی حالت (DOS) نانو روبان‌های زیگزاگ ( $N_{zz} = 6$ ) با عرض  $L_y = 122 nm$  و طول  $L_x = 111 nm$ . این شبکه دارای ۱۰۳۹۲ سایت می‌باشد. میانگین بی نظمی برای  $5^\circ$  توزیع مختلف به دست آمده است. در راستای طولی از شرایط مرزی دوره‌ای (pbc) استفاده شده است. در اینجا  $\epsilon_e$  را برابر  $100$  و عمق  $d$  را برابر  $1$  فرض کردہ‌ایم.

داده شده است. به طور کلی با افزایش بی نظمی نقاط تکینه مربوط به کانال‌ها هموار شده و سرانجام ناپدید می‌شوند. همچنین با افزایش بی نظمی پهنه‌ای باند DOS افزایش می‌یابد. افزایش پهنه‌ای باند در اثر بی نظمی اندرسون، یک رفتار طبیعی است که در سیستم‌های مشابه نیز مشاهده می‌شود. برای GNRs دسته صندلی، با وارد کردن بی نظمی حالت‌های جایگزیده در گاف نانوروبان‌های دسته صندلی ظاهر می‌شوند، و کمی بیشتر از مقدار بحرانی بی نظمی، این گاف کاملاً پر می‌شود. برای بی نظمی داخلی این گاف در  $t = W_b / t = 2$  کاملاً بسته می‌شود، اما برای بی نظمی روی مرز، گاف در  $t = W_e / t = 3$  بسته می‌شود. این نتیجه کاملاً منطقی است، چون اثر بی نظمی لبه به مراتب ضعیف‌تر از بی نظمی داخلی است. اما برای GNRs زیگزاگ، به محض وارد کردن بی نظمی قله واقع در انرژی فرمی از بین می‌رود. همان‌طور که از نمودارهای DOS پیداست، نانوروبان‌های دسته صندلی حساسیت کمتری نسبت به بی نظمی اندرسون دارند تا نانوروبان‌های زیگزاگ. تفاوت هندسی مرزها تنها هنگامی مهم است که بی نظمی ضعیف باشد. برای بی نظمی قوی  $W_b / t = 3$  نتایج چگالی حالات نانوروبان‌های زیگزاگ و دسته صندلی تقریباً به طور کامل بر هم منطبق می‌شوند.

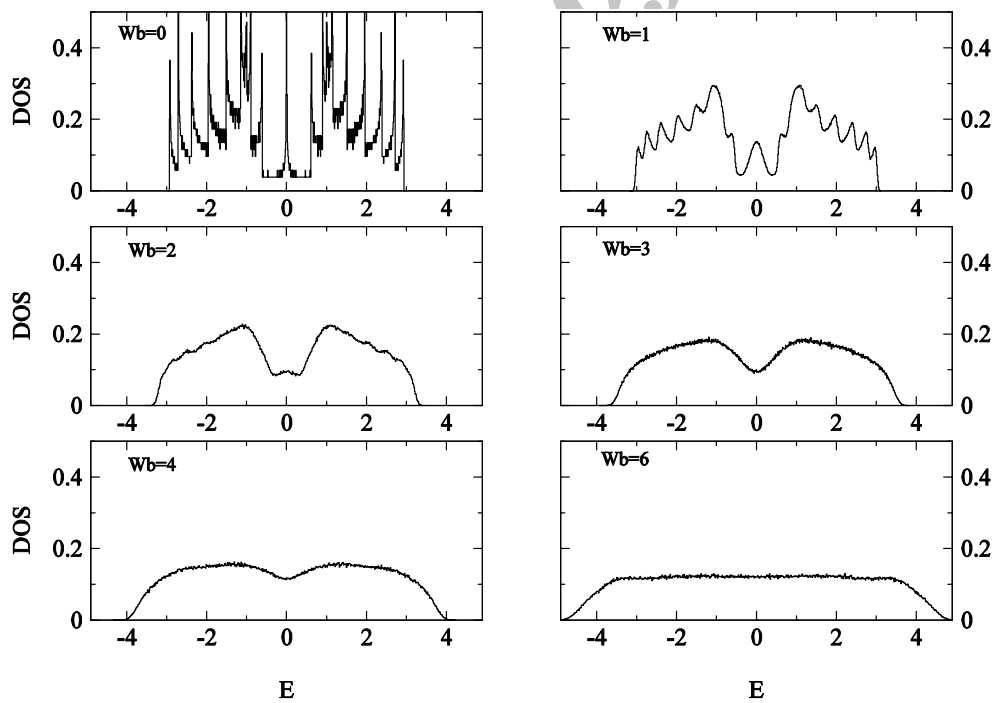
مرزهای زیگزاگ و دسته صندلی وجود ندارد و این نتیجه با تجربه مطابقت دارد.

نانو روبان‌های گرافینی واقعی همیشه تعدادی پراکنده (به علت اعوجاج شبکه یا اتم‌های ناخالصی) دارند، که به طور تصادفی روی مرزها توزیع شده‌اند. در این قسمت خواص GNRs را تحت تأثیر بی نظمی اندرسون روی مرز و سطح آنها بررسی می‌کنیم. در بی نظمی اندرسون مقدار انرژی روی جایگاهی  $i$  (معادله (۲))، به طور یکنواخت و تصادفی در بازه  $\left[-\frac{W}{2}, \frac{W}{2}\right]$  تغییر می‌کند، که به  $W$  پهنا یا شدت بی نظمی می‌گویند.

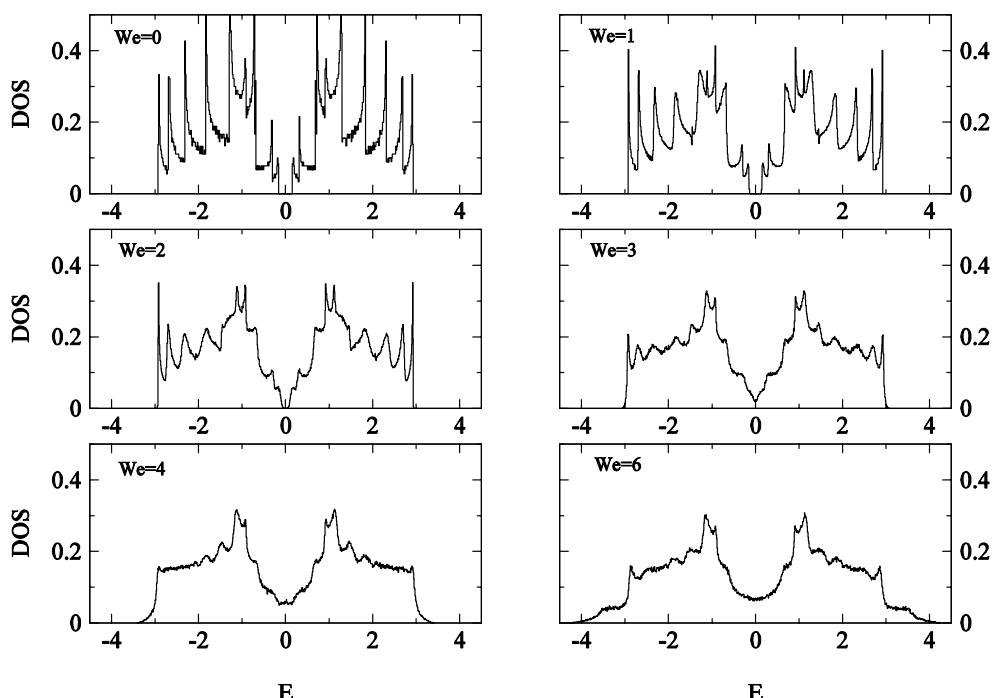
در اینجا نیز مانند قسمت اول پس از تشکیل ماتریس هامیلتونی معادله (۲) این ماتریس را قطری کرده و با استفاده از ویژه مقادیر انرژی، چگالی حالات سیستم را تشکیل می‌دهیم. نمودارهای DOS نانوروبان‌های زیگزاگ ( $N_{zz} = 6$ ) و دسته صندلی ( $N_{ac} = 10$ ) با اندازه‌های متفاوت بی نظمی (روی مرز و سطح) در شکل‌های  $7, 8, 9$  و  $10$  نشان  $W_{\{e,b\}} / t = 0, 1, 2, 3, 4, 5, 6$



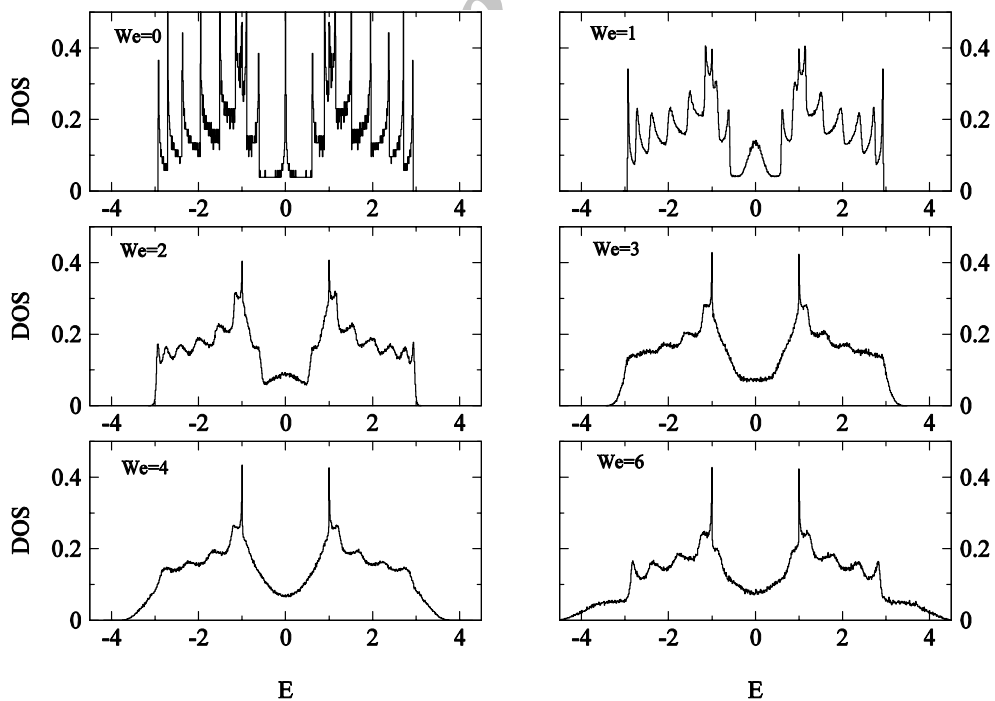
شکل ۷. اثر بی نظمی اندرسون (داخلی) بر روی چگالی حالت (DOS) نانو روبان های دسته صنعتی ( $Nac = 10$ ) با عرض  $L_y = 178 nm$  و طول  $L_x = 122 nm$ . این شبکه دارای  $10000$  سایت می باشد. میانگین بی نظمی برای  $10^\circ$  توزیع مختلف به دست آمده است. در راستای طولی از شرایط مرزی دوره‌ای (pbc) استفاده شده است (در این شکلها  $t=1$  فرض شده است).



شکل ۸. اثر بی نظمی اندرسون (داخلی) بر روی چگالی حالت (DOS) نانوروبان های زیگزاگ ( $Nzz = 6$ ) با عرض  $L_y = 178 nm$  و طول  $L_x = 122 nm$ . این شبکه دارای  $10392$  سایت می باشد. میانگین بی نظمی برای  $10^\circ$  توزیع مختلف به دست آمده است. در راستای طولی از شرایط مرزی دوره‌ای (pbc) استفاده شده است.



شکل ۹. اثر بی نظمی اندرسون (لبه) بر روی چگالی حالت (DOS) نانوروبان‌های دسته صندلی ( $Nac = 10$ ) با عرض  $L_y = 18 nm$  و طول  $L_x = 123 nm$ . این شبکه دارای  $10000$  سایت می‌باشد. میانگین بی نظمی برای  $10^\circ$  توزیع مختلف به دست آمده است. در راستای طولی از شرایط مرزی دوره‌ای (pbc) استفاده شده است.



شکل ۱۰. اثر بی نظمی اندرسون (لبه) بر روی چگالی حالت (DOS) نانوروبان‌های زیگزاگ ( $Nzz = 6$ ) با عرض  $L_y = 18 nm$  و طول  $L_x = 123 nm$ . این شبکه دارای  $10392$  سایت می‌باشد. میانگین بی نظمی برای  $10^\circ$  توزیع مختلف به دست آمده است. در راستای طولی از شرایط مرزی دوره‌ای (pbc) استفاده شده است.

اصطلاح participation number)، تعداد سایت‌های شبکه می‌باشد که در حالت جایگزینه سهیم هستند. این موجب می‌شود که IPR در حد  $\infty \rightarrow N$  مقدار محدودی، از مرتبه  $P_2 \propto \frac{c_1}{N}$  داشته باشد. در عمل محل تقاطع نمودار میانگین IPR نسبت به  $\frac{c_1}{N}$ ، می‌تواند به عنوان مقیاسی برای تشخیص ویژه حالت‌های گسترده و جایگزینه استفاده شود. پس به طور کلی می‌توان نوشت:

$$P_2(N) = \frac{c_1}{N} + c_2, \quad (5)$$

که در آن  $c_2$  برای حالت‌های گسترده صفر می‌باشد و برای حالت‌های جایگزینه یک مقدار غیر صفر دارد.

برای مشخص کردن رفتار جایگزینه و یا گسترده نانوروبان‌های گرافینی در حضور بی نظمی‌های متفاوت، ویژه حالت‌های آن را برای بازه‌های مختلف انرژی به دست می‌آوریم، سپس میانگین IPR این ویژه حالت‌ها را برای توزیع‌های مختلف بی نظمی محاسبه می‌کنیم، و نمودارهای IPR را بر حسب معکوس سایز سیستم رسم می‌کنیم. برای نمودارهایی که از مبدأ می‌گذرند، پیش‌بینی می‌شود که ویژه حالت‌های آنها در آن بازه گسترده هستند و برای نمودارهایی که عرض از مبدأ دارند، رفتار جایگزینه برای ویژه حالت‌های آن بازه پیش‌بینی می‌شود. محاسبات IPR نشان می‌دهد، برای روبان دسته‌های صندلی ( $N_{ac} = 10$ ) و زیگزاگ ( $N_{zz} = 6$ ،  $N_{xz} = 4$ )، کوچکترین مقدار بی نظمی باعث می‌شود تمام ویژه حالت‌ها در اطراف انرژی فرمی در بازه  $(-0.4, 0.4)$  جایگزینه شوند. پس میانگین IPR را برای بی نظمی ثابت و در بازه‌های بعدی انرژی  $(0.4, 0.8), (0.8, 1.2), (1.2, 1.6), (1.6, 2.0)$  محاسبه می‌کنیم. نتایج محاسبات برای نانوروبان‌های زیگزاگ و دسته‌های صندلی در شکل‌های ۱۱ و ۱۲ نشان داده شده است.

برای روبان دسته‌های صندلی همراه با بی نظمی سطحی اندرسون، ویژه مقادیر برای بی نظمی‌های  $W_{b/t} \geq 1$ ، در تمام بازه‌ها رفتار جایگزینه از خود نشان می‌دهند، این رفتار برای روبان دسته‌های صندلی همراه با بی نظمی اندرسون لب، برای بی نظمی‌های  $W_{e/t} \geq 2$ ، دیده می‌شود. همچنین برای روبان دسته‌های صندلی همراه با بی نظمی تهی جایی روی مرز، ویژه

جهت بررسی خواص ترابرد الکترونیکی نانو روبان‌های گرافینی در حضور بی نظمی، باید جایگزینه و گسترده‌گی توابع موج الکترونی را مشخص کرد. در واقع شدت جایگزینه ویژه توابع هامیلتونی، پارامتر مناسبی جهت بررسی ترابرد می‌باشد. اگر توابع موج با انرژی‌های نزدیک به انرژی فرمی، به شدت جایگزینه باشند، می‌توان نتیجه گرفت که سیستم در فاز نارسانا قرار دارد و در غیر این صورت، رسانایی محدودی وجود دارد. در این قسمت از روش (IPR)<sup>۱</sup> برای مشخص کردن جایگزینه و گسترده ویژه حالت‌ها استفاده شده است. در اینجا برخی نکات مهم این روش را به اختصار بیان می‌کنیم. یک روش تصمیم‌گیری برای شناسایی ویژه حالت‌های گسترده و جایگزینه، بررسی دومین گشتاور<sup>۲</sup> چگالی احتمال ویژه حالت‌ها می‌باشد [۱۶]، که IPR نامیده می‌شود. Q گشتاور چگالی احتمال ویژه حالت‌ها به وسیله رابطه زیر داده می‌شود:

$$P_q = \int d^d r |\psi(r)|^{2q}, \quad (3)$$

در نتیجه دومین گشتاور ( $q=2$ ) بر روی یک شبکه گسترده به صورت زیر است:

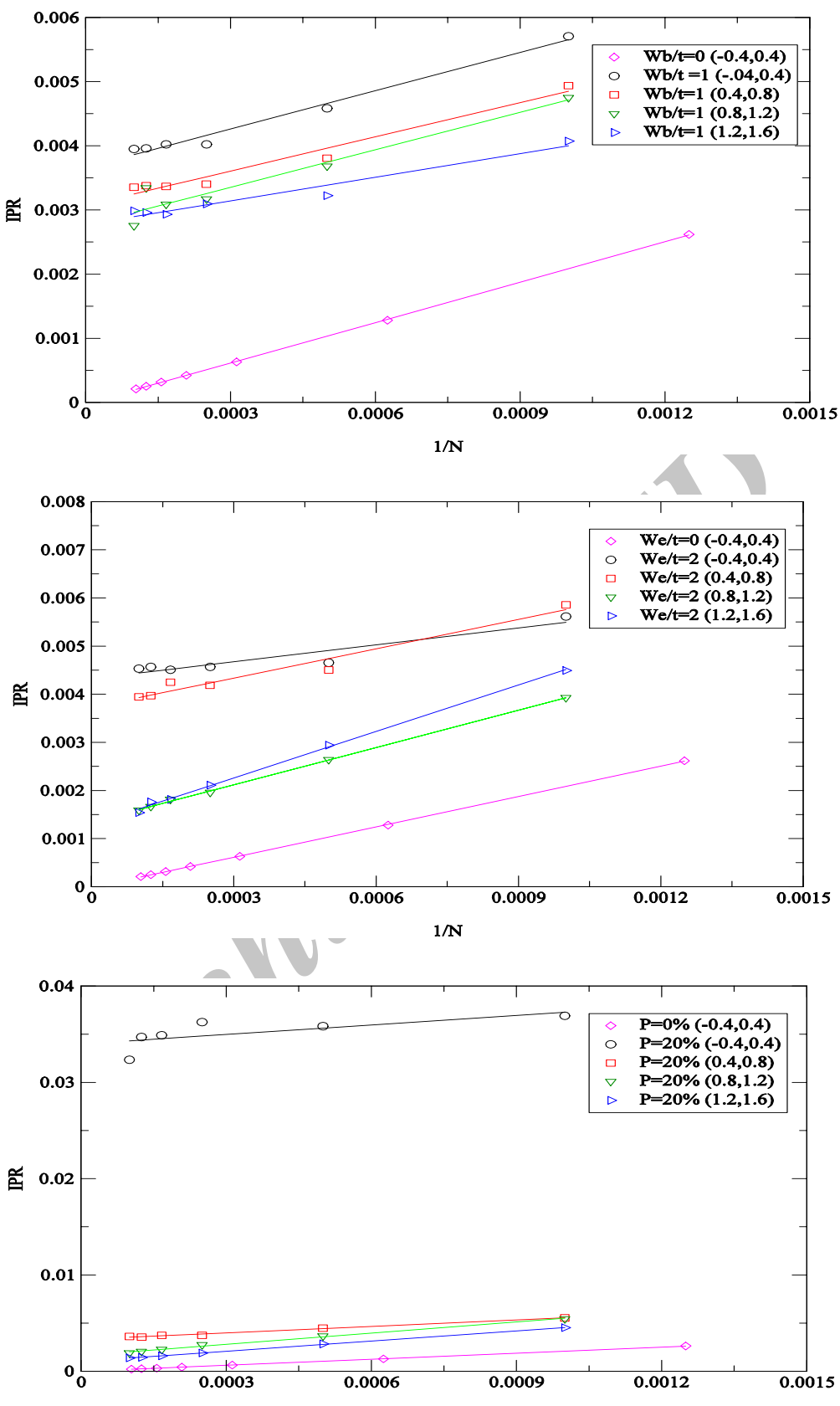
$$P_2 = \sum_i |\psi(r_i)|^4 \quad (4)$$

در اینجا  $|\psi_i|^4$  چگالی احتمال ویژه حالت‌ها در جایگاه  $i$  است. برای حالت‌های گسترده، ویژه تابع‌ها ارگودیک<sup>۳</sup> هستند و دامنه آنها با  $\sqrt{N}$  متناسب می‌باشد، پس مقیاس‌های IPR نسبت به سایز سیستم مثل  $\frac{1}{\sqrt{N}}$  تغییر می‌کند که در آن  $N$  تعداد کل جایگاه‌های شبکه می‌باشد. بنابراین برای حالت‌های گسترده هنگامی که  $N \rightarrow \infty$ ، در نتیجه داریم  $IPR \rightarrow 0$ . برای یک حالت جایگزینه، دامنه ویژه حالت‌غیر صفر متناسب با  $\frac{1}{\sqrt{N}}$  می‌باشد، و مقیاس‌های IPR نسبت به سایز سیستم مانند  $\frac{1}{\sqrt{N}}$  می‌باشند که  $N$  (به

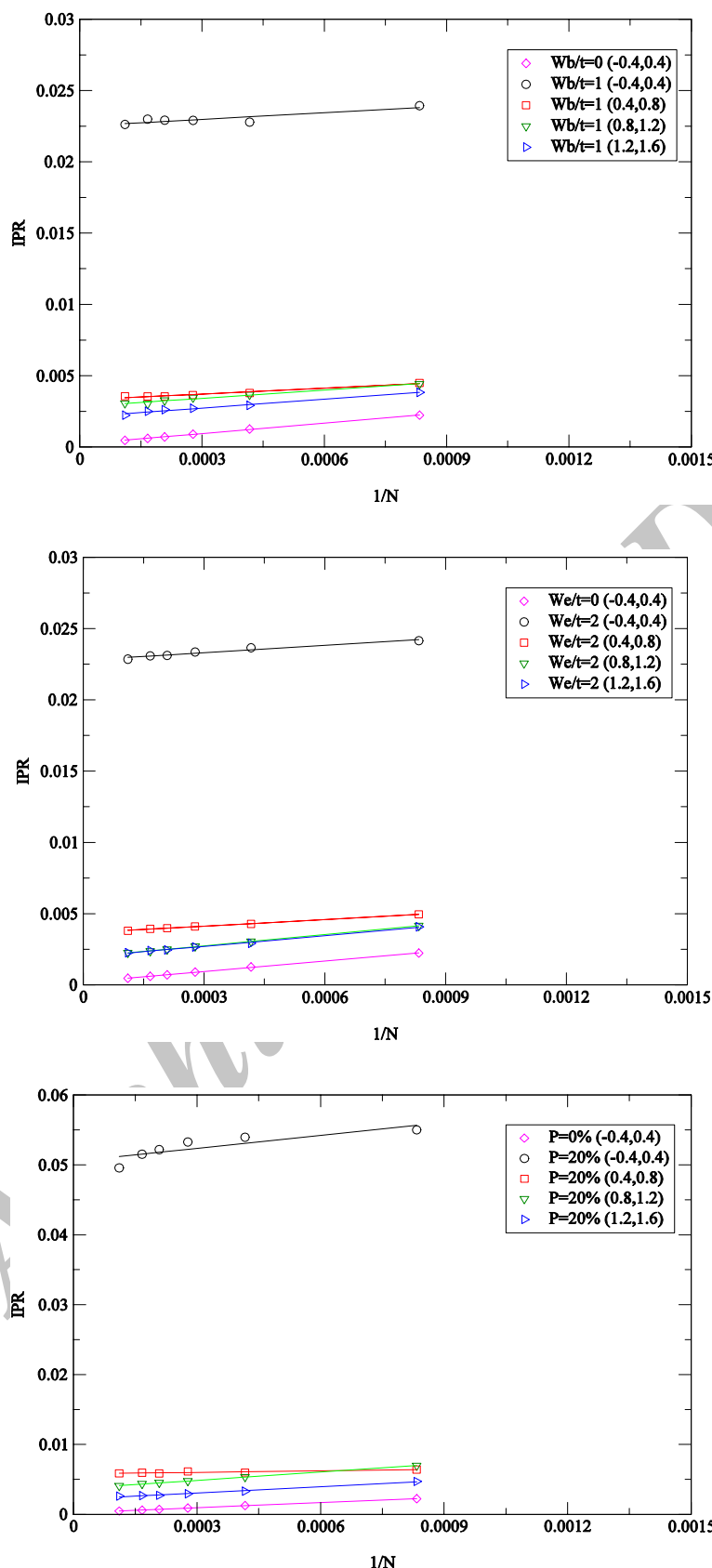
۱. Inverse participation ratio

۲. Second moment

۳. Ergodic



شکل ۱۱. نمودار IPR برای نانوروبان دسته صندلی با بی نظمی‌های اندرسون (روی سطح و لبه) و تهی جایی (روی لبه).



شکل ۱۲. نمودار IPR برای نانوروبان‌های زیگزاگ با بی‌نظمی‌های اندرسوون (روی سطح و لبه) و تهی جایی (روی لبه).

بی نظمی‌ها آسیب پذیر می‌کند. به این دلیل، نمونه‌های تولید شده در آزمایشگاه همیشه دارای بی نظمی‌هایی روی مرزها و سطح نانوروبان‌ها می‌باشند. این بی نظمی‌ها می‌توانند اثر مهمی روی خواص الکترونیکی نانو روبان‌ها داشته باشند. نتایج نشان می‌دهد به طور کلی بی نظمی، رسانایی را کاهش می‌دهد و در بی نظمی خاصی موجب جایگزیدگی تمام ویژه حالت‌ها می‌شود.

مقادیر برای  $P \geq 80\%$ ، در تمام بازه‌ها رفتار جایگزیده دارند (شکل ۱۱).

نمودار شکل ۱۲ برای روبان زیگزاگ، نتایجی مشابه روبان دسته صندلی نشان می‌دهد.

وجود مرزهای باز در دو طرف نانو روبان آن را نسبت به

- 319 (2008) 1229.
9. D A Areshkin, D Gunlycke, and C T White, *Nano Lett.* **7** (2007) 204.
  10. D Gunlycke, D A Areshkin, and C T White, *Appl. Phys. Lett.* **90** (2007) 142104.
  11. Z Chen, Y M Lin, M J Rooks, and P Avouris, *Physica E* **40** (2007) 228.
  12. A Lherbier, B Biel, Y M Niquet, and S Roche, *Phys. Rev. Lett.* **100** (2008) 036803.
  13. Y W Son, M L Cohen, and S G Louie, *Phys. Rev. Lett.* **97** (2006) 216803.
  14. R Satio, M Fujita, G Dresselhaus and M S Dresselhaus, *Phys. Rev. B* **46** (1992) 1804.
  15. S Reich, J Maultzsch, C Thomsen, and P Ordejon, *Phys. Rev. B* **66** (2002) 035412.
  16. F Wegner. Inverse Participation Ratio in (2+e) dimensions. *Cond. Mat.: Z. Phys. B* **36** (1980) 209.

1. K S Novoselov, A K Geim, S V Morozov, D Jiang, Y Zhang, S V Dubonos, I V Grigorieva, and A AFirsov, *Science* **306** (2004) 666.
2. L D Landau and E M Lifshitz, “Statistical Physics” Pergamon Oxford (1980).
3. F Schedin, A K Geim, S V Morozov, E W Hill, P Blake, M I Katsonelson, and K S Novoselov, *Nature Mater.* **6** (2007) 652.
4. A K Geim and K S Novoselov, *Nature Mater.* **6** (2007) 183.
5. M Fujita, K Wakabayashi, K Nakada, and K Kusakabe, *J. Phys. Soc. Jpn.* **65** (1996) 1920.
6. K Nakada, M Fujita, G Dresselhaus, and M S Dresselhaus, *Phys. Rev. B* **54** (1996) 17954.
7. M Y Han, B Ozyilmaz, Y Zhang, and P Kim, *Phys. Rev. Lett.* **98** (2007) 206805.
8. X Li, X Wang, L Zhang, S Lee, and H Dai, *Science*